



**DUT**

大连理工大学

DALIAN UNIVERSITY OF TECHNOLOGY

## 第7章

# 常微分方程初值问题数值解法

## 7.2 线性多步法



## 7.2 线性多步法

前节所讨论的方法如**Euler**方法、改进**Euler**方法都称为**单步法**（**单步长法**）。因为它们只利用前一个点的信息来计算下一个点，即，只用初始点 $u_0$ 计算 $u_1$ ；一般说来，只用 $u_n$ 来计算 $u_{n+1}$ 。

线性单步法一般说来，精度是较低的。为提高精度，我们考虑构造**多步法**。所谓“**多步法**”，即当计算出若干个点之后，用几个已计算出的点来计算下一个点。在计算公式中的一个主要特征就是， $u_{n+1}$ 不仅依赖于 $u_n$ ，而且也直接依赖于 $u_{n-1}, u_{n-2}, \dots$ 等已经算出的值。它可以大大提高截断误差的阶。



DUT

大连理工大学

DALIAN UNIVERSITY OF TECHNOLOGY

在前面，我们介绍了基于数值积分的特殊的单步法、二步法。  
例如

显式单步法Euler公式： $u_{n+1} = u_n + hf(t_n, u_n)$

线性二步法Milne公式： $u_{n+2} = u_n + \frac{h}{3}(f_{n+2} + 4f_{n+1} + f_n)$

单步法一般可写成：

$$u_{n+1} = u_n + h\varphi(t_n, u_n, t_{n+1}, u_{n+1}; h) \quad n = 0, 1, 2, \dots, N-1$$

其中  $\varphi$  是依赖于右端的函数  $f(t, u)$ 。

当取  $\varphi = f(t_n, u_n)$  时，为Euler法；

当取  $\varphi = f(t_{n+1}, u_{n+1})$  时，为隐式Euler法；

当取  $\varphi = \frac{h}{2}[f(t_n, u_n) + f(t_{n+1}, u_{n+1})]$  时，为梯形法。



线性多步法的一般公式为：

$$\sum_{j=0}^k \alpha_j u_{n+j} = h \sum_{j=0}^k \beta_j f_{n+j}, \quad \alpha_k \neq 0 \quad (7-24)$$

或  $\sum_{j=0}^k [\alpha_j u_{n+j} - h \beta_j f_{n+j}] = 0$  (数值解满足的差分方程)

其中  $f_{n+j} = f(t_{n+j}, u_{n+j})$ ,  $\alpha_j, \beta_j$  是常数,  $\alpha_0$  和  $\beta_0$  不同时为0。

按 (7-24) 计算  $u_{n+k}$  时要用到前面  $k$  个已知值  $u_n, u_{n+1}, \dots, u_{n+k-1}$

因此称 (7-24) 为多步法 或  $k$ -步法。

又因为 (7-24) 关于  $u_{n+j}, f_{n+j}$  是线性的, 所以称为线性多步法。

为使多步法的计算能够进行, 除给定的初值  $u_0$  外, 还要知道附加初值  $u_1, u_2, \dots, u_{k-1}$ , 这可用其它方法计算。若  $\beta_k = 0$  则称 (7-24) 是显式的; 若  $\beta_k \neq 0$  则方法 (7-24) 是隐式的。

构造线性多步法有许多不同方式，我们在这里主要介绍两类方法：**积分插值法**和**待定函数法**（基于**Taylor**展开）。

### 7.2.1 积分插值法

仍将(1.1)于区间 $[t_n, t_{n+1}]$ 上写成积分形式

$$u(t_{n+1}) = u(t_n) + \int_{t_n}^{t_{n+1}} f(t, u(t)) dt \quad (7-25)$$

我们用 $k$ 次**Lagrange**插值多项式

$$L_{n,k}(t) = \sum_{i=0}^k f(t_{n-i}, u(t_{n-i})) l_i(t)$$

来近似替代(7-25)中的被积函数，这里 $\{t_i\}$ 为等距的插值节点列，

$h=t_{i+1}-t_i$ ，而插值基函数为

$$l_i(t) = \prod_{\substack{j=0 \\ j \neq i}}^k \frac{t - t_{n-j}}{t_{n-i} - t_{n-j}} = \frac{\omega(t)}{\omega'(t_{n-i})(t - t_{n-i})} \quad \begin{aligned} \omega(t) &= (t - t_n) \cdots (t - t_{n-k}) \\ i &= n, n-1, \dots, n-k \end{aligned}$$

插值节点的不同取法就导致不同的多步法。

## (1) Adams外插法（显式多步法）

取 $k+1$ 个节点 $t_{n-k}, \dots, t_{n-1}, t_n$ 及函数值 $f(t_{n-i}, u(t_{n-i}))$   $i=k, \dots, 1, 0$   
构造区间 $[t_n, t_{n+1}]$ 上逼近 $f(t, u(t))$ 的 $k$ 次Lagrange插值多项式 $L_{n,k}(t)$

$$f(t, u(t)) = L_{n,k}(t) + r_{n,k}(t) \quad (7-26)$$

其中 $r_{n,k}(t)$ 为插值余项。代到(2.2)式中得

$$u(t_{n+1}) = u(t_n) + \int_{t_n}^{t_{n+1}} L_{n,k}(t) dt + \int_{t_n}^{t_{n+1}} r_{n,k}(t) dt$$

舍去余项

$$R_{n,k} = \int_{t_n}^{t_{n+1}} r_{n,k}(t) dt$$

并用 $u_j$ 代替 $u(t_j)$ 即得

$$\begin{aligned} u_{n+1} &= u_n + \sum_{i=0}^k \left( \int_{t_n}^{t_{n+1}} l_i(t) dt \right) \cdot f(t_{n-i}, u_{n-i}) \\ &= u_n + h \sum_{i=0}^k b_{ki} f(t_{n-i}, u_{n-i}) \end{aligned}$$

其中

$$b_{ki} = \frac{1}{h} \int_{t_n}^{t_{n+1}} l_i(t) dt = \int_{t_n}^{t_{n+1}} \left( \prod_{\substack{j=0 \\ j \neq i}}^k \frac{t - t_{n-j}}{t_{n-i} - t_{n-j}} \right) dt = \int_0^1 \prod_{\substack{j=0 \\ j \neq i}}^k \frac{\tau - j}{j - i} d\tau$$

且  $t = t_n + \tau h$ ,  $\tau \in [0, 1]$ 。 注:  $t - t_{n-j} = t_n + \tau h - t_n + j h = (\tau + j) h$

注意, 被插值点  $t \in [t_n, t_{n+1}]$  不包含在插值节点的决定区间  $[t_{n-k}, t_n]$

故此多步法称为 **Adams外插法**。

**Adams外插公式的系数表**

$i$	0	1	2	3	4
$b_{0i}$	1				
$2b_{1i}$	3	-1			
$12b_{2i}$	23	-16	5		
$24b_{3i}$	55	-59	37	-9	
$720b_{4i}$	1901	-2774	2616	-1274	251

**Adams**外插公式中，几种常用的差分格式：

$$u_{n+1} = u_n + h f(t_n, u_n) \quad k = 0$$

$$u_{n+1} = u_n + \frac{h}{2} [3 f(t_n, u_n) - f(t_{n-1}, u_{n-1})] \quad k = 1$$

$$u_{n+1} = u_n + \frac{h}{12} [23 f(t_n, u_n) - 16 f(t_{n-1}, u_{n-1}) + 5 f(t_{n-2}, u_{n-2})] \quad k = 2$$

$$u_{n+1} = u_n + \frac{h}{24} [55 f(t_n, u_n) - 59 f(t_{n-1}, u_{n-1}) + 37 f(t_{n-2}, u_{n-2}) - 9 f(t_{n-3}, u_{n-3})]$$

它们分别为1阶、2阶、3阶、4阶差分法（格式）。 $k = 3$

**Adams**外插公式的余项为：

$$\begin{aligned} R_{n,k} &= \int_{t_n}^{t_{n+1}} r_{n,k}(t) dt = \frac{1}{(k+1)!} \int_{t_n}^{t_{n+1}} \left( \prod_{i=0}^k t - t_{n-i} \right) f^{(k+1)}(\xi(t), u(\xi(t))) dt \\ &= \frac{h^{k+2}}{(k+1)!} \int_0^1 \prod_{i=0}^k (\tau + i) f^{(k+1)}(\xi(\tau), u(\xi(\tau))) d\tau = O(h^{k+2}) \end{aligned}$$



## (1) Adams内插法（隐式多步法）

取 $k+2$ 个节点 $t_{n-k}, \dots, t_n, t_{n+1}$ 及函数值  $f(t_{n-i+1}, u(t_{n-i+1}))$   $i=0, \dots, k+1$

构造区间 $[t_{n-k}, t_{n+1}]$ 上逼近  $f(t, u(t))$  的 $k+1$ 次L-插值多项式 $L_{n,k+1}(t)$

$$f(t, u(t)) = L_{n,k+1}(t) + r_{n,k+1}(t)$$

其中 $r_{n,k+1}(t)$ 为插值余项。同理即得

$$u_{n+1} = u_n + h \sum_{i=0}^{k+1} b_{k+1i} f(t_{n-i+1}, u_{n-i+1})$$

其中

$$b_{k+1i} = \int_{-1}^0 \prod_{\substack{j=0 \\ j \neq i}}^{k+1} \frac{\tau + j}{j - i} d\tau$$

且  $t = t_{n+1} + \tau h$ ,  $\tau \in [-1, 0]$ 。

注：  $t - t_{n-j+1} = t_{n+1} + \tau h - t_n + (j-1)h = (\tau + j)h$



注意，被插值点  $t \in [t_n, t_{n+1}]$  包含在插值节点的决定区间  $[t_{n-k}, t_{n+1}]$

故此多步法称为 **Adams** 内插法。

### Adams内插公式的系数表

$(b_{k+1,i}) \ i$	0	1	2	3	4
$b_{0i}$	1				
$2b_{1i}$	1	1			
$12b_{2i}$	5	8	-1		
$24b_{3i}$	9	19	-5	1	
$720b_{4i}$	251	646	-264	106	-19

**Adams**内插公式中，几种常用的差分格式：

$$u_{n+1} = u_n + h f(t_{n+1}, u_{n+1}) \quad k = -1$$

$$u_{n+1} = u_n + \frac{h}{2} [f(t_n, u_n) + f(t_{n+1}, u_{n+1})] \quad k = 0$$

$$u_{n+1} = u_n + \frac{h}{12} [5f(t_{n+1}, u_{n+1}) + 8f(t_n, u_n) - f(t_{n-1}, u_{n-1})] \quad k = 1$$

$$u_{n+1} = u_n + \frac{h}{24} [9f(t_{n+1}, u_{n+1}) + 19f(t_n, u_n) - 5f(t_{n-1}, u_{n-1}) + f(t_{n-2}, u_{n-2})] \quad k = 2$$

它们分别为1阶、2阶、3阶、4阶差分法（格式）。

**Adams**外插公式的余项为：

$$\begin{aligned} R_{n,k+1} &= \int_{t_n}^{t_{n+1}} r_{n,k+1}(t) dt = \frac{1}{(k+2)!} \int_{t_n}^{t_{n+1}} \left( \prod_{i=0}^{k+1} t - t_{n-i+1} \right) f^{(k+2)}(\xi(t), u(\xi(t))) dt \\ &= \frac{h^{k+3}}{(k+2)!} \int_{-1}^0 \prod_{i=0}^{k+1} (\tau + i) f^{(k+2)}(\xi(\tau), u(\xi(\tau))) d\tau = O(h^{k+3}) \end{aligned}$$



若将 (7-2) 中积分区间改为  $[t_n, t_{n+2}]$ , 对(7-2)右端使用 Simpson求积公式, 即

$$\int_{t_n}^{t_{n+2}} f(t, u(t)) dt \approx \frac{t_{n+2} - t_n}{6} [f(t_{n+2}, u(t_{n+2})) + 4f(t_{n+1}, u(t_{n+1})) + f(t_n, u(t_n))]$$

分别用  $u_n$  替代  $u(t_n)$ ,  $u_{n+1}$  替代  $u(t_{n+1})$ , 并记

$$u_{n+2} = u_n + \frac{2h}{6} [f(t_{n+2}, u_{n+2}) + 4f(t_{n+1}, u_{n+1}) + f(t_n, u_n)]$$

进一步可写成

$$u_{n+2} = u_n + \frac{h}{3} [f_{n+2} + 4f_{n+1} + f_n] \quad (7-27)$$

其中  $f_{n+2} = f(t_{n+2}, u_{n+2})$ ,  $f_{n+1} = f(t_{n+1}, u_{n+1})$ ,  $f_n = f(t_n, u_n)$

此为 **Milne** 公式, 为线性二步方法。



## Adams外插法和Adams内插法的几点区别:

1) 系数小, 从而计算中内插法的舍入误差的影响比外插法要小;

2) 在同一个误差精度下, 内插法比外插法可少算一个已知量值。这是由于在计算 $u_{n+1}$ 时, 内插法和外插法所用的已知值相同, 为 $k+1$ :  $u_n, u_{n-1}, \dots, u_{n-k}$ , 但是内插法的局部截断误差为 $O(h^{k+3})$ , 外插法的局部截断误差为 $O(h^{k+2})$ 。

3) 内插法是隐式格式 (稳定性好), 外插法是显式格式。



## 7.2.2 待定系数法（基于Taylor展开式的求解公式）

用数值积分法只能构造一类特殊的多步法，其系数一般只满足：

$$a_k=1, a_{k-m}=-1 \quad a_l=0, \text{ 当 } l \neq k-m, k。$$

本节我们将基于Taylor展开式来构造出更一般的求解公式。

## 待定系数法

$$\text{令 } L_k[u(t); h] = \sum_{j=0}^k \left[ \alpha_j u(t + jh) - h\beta_j u'(t + jh) \right] \quad (7-28)$$

设 $u(t)$ 是初值问题 (7-1) 的解, 将 $u(t+jh)$ 和  $u'(t+jh)$ 在点 $t$ 处进行**Taylor**展开,

$$u(t+jh) = \sum_{l=0}^{\infty} \frac{(jh)^l}{l!} u^{(l)}(t) = u(t) + \frac{jh}{1!} u'(t) + \frac{(jh)^2}{2!} u''(t) + \frac{(jh)^3}{3!} u^{(3)}(t) + \dots$$

$$u'(t+jh) = \sum_{l=1}^{\infty} \frac{(jh)^{l-1}}{(l-1)!} u^{(l)}(t) = u'(t) + \frac{jh}{1!} u''(t) + \frac{(jh)^2}{2!} u^{(3)}(t) + \frac{(jh)^3}{3!} u^{(4)}(t) + \dots$$

将上式代入 (7-28) 式, 得

$$L_k[u(t); h] = \sum_{j=0}^k \left( \alpha_j u(t + jh) - h\beta_j u'(t + jh) \right)$$

将下式按 $h$ 的同次幂合并同类项,

$$\sum_{j=0}^k \alpha_j \left[ u(t) + \frac{jh}{1!} u'(t) + \frac{(jh)^2}{2!} u''(t) + \frac{(jh)^3}{3!} u^{(3)}(t) + \dots \right] \\ - \sum_{j=0}^k \beta_j h \left[ u'(t) + \frac{jh^2}{1!} u''(t) + \frac{j^2 h^3}{2!} u'''(t) + \frac{j^3 h^4}{3!} u^{(4)}(t) + \dots \right]$$

得

$$\left[ \begin{matrix} \alpha_0 \\ \alpha_1 \end{matrix} \right] + \left[ j\alpha_j - \beta_j \right] h + \sum_{j=0}^k \left[ \frac{j^2}{2!} \alpha_j - j\beta_j \right] h^2 + \dots \\ = \left( \sum_{j=0}^k \alpha_j \right) u(t) + \sum_{l=1}^{\infty} \left[ \frac{1}{l!} \sum_{j=0}^k j^l \alpha_j - \frac{1}{(l-1)!} \sum_{j=0}^k j^{l-1} \beta_j \right] u^{(l)}(t) h^l$$

记为 (7-29)

$$L_k[u(t); h] = c_0 u(t) + c_1 h u'(t) + c_2 h^2 u''(t) + \dots + c_p h^p u^{(p)}(t) + c_{p+1} O(h^{p+1})$$

其中

$$c_l = \left[ \frac{1}{l!} \sum_{j=0}^k j^l \alpha_j - \frac{1}{(l-1)!} \sum_{j=0}^k j^{l-1} \beta_j \right] u^{(l)}(t) \quad l = 0, 1, \dots, p, \dots$$





即有

$$\left\{ \begin{array}{l} c_0 = \alpha_0 + \alpha_1 + \cdots + \alpha_k \\ c_1 = \alpha_1 + 2\alpha_2 + \cdots + k\alpha_k - (\beta_0 + \beta_1 + \cdots + \beta_k) \\ \cdots \quad \cdots \quad \cdots \\ c_p = \frac{1}{p!}(\alpha_1 + 2^p \alpha_2 + \cdots + k^p \alpha_k) - \frac{1}{(p-1)!}(\beta_1 + 2^{p-1} \beta_2 + \cdots + k^{p-1} \beta_k) \\ p = 2, 3, \cdots \end{array} \right. \quad (7-30)$$

若 $u(t)$ 有 $p+2$ 次连续微商，则可选取适当 $k$ 和 $\alpha_j, \beta_j$ 使 $c_0 = c_1 = c_2 = \cdots = c_p = 0$ ，而 $c_{p+1} \neq 0$ ，即选 $\alpha_j$ 和 $\beta_j$ 满足

$$\left\{ \begin{array}{l} \alpha_0 + \alpha_1 + \cdots + \alpha_k = 0 \\ \alpha_1 + 2\alpha_2 + \cdots + k\alpha_k - (\beta_0 + \beta_1 + \cdots + \beta_k) = 0 \\ \cdots \quad \cdots \quad \cdots \\ \frac{1}{p!}(\alpha_1 + 2^p \alpha_2 + \cdots + k^p \alpha_k) - \frac{1}{(p-1)!}(\beta_1 + 2^{p-1} \beta_2 + \cdots + k^{p-1} \beta_k) = 0 \\ p = 2, 3, \cdots \end{array} \right.$$

**定理（多步法性质定理）** 多步法（7-24）的下列三个性质等价：

1.  $c_0=c_1=\cdots=c_p=0$ 。
2. 对每个次数 $\leq p$ 的多项式,  $L[f_p(t);h]=0$ 。
3. 对一切 $u(t) \in \mathbf{C}^{p+1}$ ,  $L[u(t);h]=O(h^{p+1})$ 。

证明：若性质1成立，则（7-29）式具有形式

$$L_k[u(t);h] = c_{p+1}h^{p+1}u^{(p+1)}(t) + \cdots +,$$

若对 $u$ 是次数 $\leq p$ 的多项式，则一切 $j > p$ ,  $u^{(j)}(t)=0$ , 因此，有上式 $L[u(t);h]=0$ 。故性质1推出性质2。

若性质2成立，若 $u(t) \in \mathbf{C}^{p+1}$ , 则由**Taylor**定理，我们可记 $u(t)=f_p+r$ , 其中 $f$ 是次数 $\leq p$ 的多项式， $r$ 是一函数。因为

$$L[f_p(t);h]=0,$$

$$\text{所以 } L_k[u(t);h] = L_k[r(t);h] = c_{p+1}h^{p+1}r^{(p+1)}(\xi) = O(h^{p+1})$$

故性质2推出性质3。

最后，若性质3成立。则由（7-29）式可知必有

$$c_0=c_1=\cdots=c_p=0。$$

因此，性质3推出性质1。

$$\text{此时 } L_k[u(t);h] = c_{p+1}h^{p+1}u^{(p+1)}(t) + O(h^{p+2})$$

而  $u'(t) = f(t, u(t))$ ，则

$$\sum_{j=0}^k \left[ \alpha_j u(t_n + jh) - h\beta_j f(t_n + jh, u(t_n + jh)) \right] = R_{n,k}$$

$$R_{n,k} = c_{p+1}h^{p+1}u^{(p+1)}(t_n) + O(h^{p+2})$$

舍去余项 $R_n$ ，并 $u_{n+j}$ 代替 $u(t_n+jh)$ ，用  $f_{n+j}$ 记 $f(t_{n+j}, u_{n+j})$ ，就得到线性多步法（7-24），其局部截断误差： $R_{n,k} = O(h^{p+1})$

$c_{p+1}h^{p+1}u^{(p+1)}(t)$ 称为局部截断误差主项；

$c_{p+1}$ 称为局部截断误差主项系数。

可以证明其整体截断误差  $\varepsilon_n = O(h^p)$ ，故称为 $p$ 阶 $k$ 步法。



因为 (7-24) 可以相差一个非零常数, 所以不妨设  $\alpha_1 = 1$ 。

当  $\beta_k = 0$  时,  $u_{n+k}$  可用  $u_{n+k-1}, \dots, u_n$  直接表示, 故称为显式法。

反之, 当  $\beta_k \neq 0$  时, 求  $u_{n+k}$  需解一个方程 (一般用迭代法), 称为隐式法。

用待定函数法构造多步法的一个基本要求是选取  $\alpha_j, \beta_j$  使局部截断误差的阶尽可能高。

下面我们讨论构造一般线性二步法公式的待定系数法。

$$\alpha_2 u_{n+2} + \alpha_1 u_{n+1} + \alpha_0 u_n = h(\beta_2 f_{n+2} + \beta_1 f_{n+1} + \beta_0 f_n)$$

考虑一般性, 此时有

$k = 2, \alpha_2 = 1$ 。记  $\alpha_0 = a$ , 其余四个系数  $\alpha_1, \beta_0, \beta_1, \beta_2$ , 由  $c_0 = c_1 = c_2 = c_3 = 0$  确定, 即满足方程:

$$c_p = \frac{1}{p!}(\alpha_1 + 2^p \alpha_2 + \cdots + k^p \alpha_k) - \frac{1}{(p-1)!}(\beta_1 + 2^{p-1} \beta_2 + \cdots + k^{p-1} \beta_k)$$

$$\begin{cases} c_0 = a + \alpha_1 + 1 = 0 \\ c_1 = \alpha_1 + 2 - (\beta_0 + \beta_1 + \beta_2) = 0 \\ c_2 = \frac{1}{2}(\alpha_1 + 4) - (\beta_1 + 2\beta_2) = 0 \\ c_3 = \frac{1}{6}(\alpha_1 + 8) - \frac{1}{2}(\beta_1 + 4\beta_2) = 0 \end{cases}$$

解之得

$$\begin{aligned} \alpha_1 &= -(1+a), & \beta_0 &= -\frac{1}{12}(1+5a), \\ \beta_1 &= \frac{2}{3}(1-a), & \beta_2 &= \frac{1}{12}(5+a), \end{aligned}$$

所以一般二步法为

$$u_{n+2} - (1+a)u_{n+1} + au_n = \frac{h}{12}[(5+a)f_{n+2} + 8(1-a)f_{n+1} - (1+5a)f_n]$$

**(7-31)**

由 (7-30) 知道:

$$c_4 = \frac{1}{24}(\alpha_1 + 16) - \frac{1}{6}(\beta_1 + 8\beta_2) = -\frac{1}{24}(1 + a),$$

$$c_5 = \frac{1}{120}(\alpha_1 + 32) - \frac{1}{24}(\beta_1 + 16\beta_2) = -\frac{1}{360}(17 + 13a),$$

当  $a \neq -1$  时  $c_4 \neq 0$  , 方法 (7-31) 是三阶二步法。

当  $a = -1$  时  $c_4 = 0$  , 但  $c_5 \neq 0$ , 方法 (7-31) 化为:

$$u_{n+2} = u_n + \frac{h}{3}(f_{n+2} + 4f_{n+1} + f_n)$$

这是四阶二步法, 是具有最高阶的二步法, 称为 **Milne** 方法。

此外, 若取  $a = 0$ , 则 (7-31) 为:

$$u_{n+2} = u_{n+1} + \frac{h}{12}(5f_{n+2} + 8f_{n+1} - f_n)$$

此为二步隐式 **Adams** 方法;

若取 $a=-5$ ，则 (7-31) 为：

$$u_{n+2} + 4u_{n+1} - 5u_n = 2h(2f_{n+1} + f_n)$$

是显式方法。

用类似的计算过程可获得一些常用的线性多步法的局部截断误差。

当 $k=1$ 时，梯形法（二阶隐式方法）：

$$u_{n+1} = u_n + \frac{h}{2}(f_{n+1} + f_n)$$

其中 $\alpha_1=1, \alpha_0=-1, \beta_1=\beta_0=\frac{1}{2}$ ，从而有， $c_0=1-1=0$ ，

$$c_1=1-\left(\frac{1}{2}+\frac{1}{2}\right)=0, \quad c_2=\left(\frac{1}{2}-\frac{1}{2}\right)=0, \quad c_3=\frac{1}{3!}-\left(\frac{1}{2}\times\frac{1}{2}\right)=-\frac{1}{12}\neq 0,$$

其局部截断误差为  $R_{n+1}(h)=-\frac{1}{12}h^3u^{(3)}(t_n)+O(h^4)$ 。

后**Euler**法（一阶隐式方法）

$$u_{n+1} = u_n + hf_{n+1}$$

其中  $\alpha_1 = 1, \alpha_0 = -1, \beta_1 = 1, \beta_0 = 0$ ，从而有，

$$c_0 = 1 - 1 = 0, \quad c_1 = 1 - 1 = 0, \quad c_2 = \left( \frac{1}{2} - 1 \right) = -\frac{1}{2} \neq 0。$$

其局部截断误差为： $R_{n+1}(h) = -\frac{1}{2}h^2 u^{(2)}(t_n) + O(h^3)$ 。

当  $k=3$ 时，三步三阶显式**Adams**方法：

$$u_{n+3} = u_{n+2} + \frac{h}{12}(23f_{n+2} - 16f_{n+1} + 5f_n)$$

其中

$$\alpha_3 = 1, \alpha_2 = -1, \alpha_1 = 0, \alpha_0 = 0, \quad \beta_3 = 0, \beta_2 = \frac{23}{12}, \beta_1 = -\frac{16}{12}, \beta_0 = \frac{5}{12}$$





从而有，

$$c_0 = 1 - 1 = 0, \quad c_1 = 2 + 3 - \left( -\frac{5}{12} - \frac{16}{12} + \frac{23}{12} \right) = -2 + 3 - 1 = 0,$$

$$c_2 = \frac{1}{2}(-4 + 9) - \left( -\frac{16}{12} + \frac{23}{12} \times 2 \right) = \frac{5}{2} - \frac{30}{12} = 0,$$

$$c_3 = \frac{1}{3!}(-8 + 27) - \frac{1}{2} \left( -\frac{16}{12} + \frac{23}{12} \times 4 \right) = \frac{19}{6} - \frac{1}{24}(23 \times 4 - 16) = \frac{9}{10} - \frac{9}{10} = 0,$$

$$c_4 = \frac{1}{4!}(-16 + 3^4) - \frac{1}{3!} \left( -\frac{16}{12} + \frac{23 + 8}{12} \right) = \frac{9}{4!} = \frac{3}{8} \neq 0.$$

其局部截断误差为：

$$R_{n+3}(h) = \frac{3}{8} h^4 u^{(4)}(t_n) + O(h^5).$$

### 三步四阶隐式Adams方法:

$$u_{n+3} = u_{n+2} + \frac{h}{24}(9f_{n+3} + 19f_{n+2} - 5f_{n+1} + f_n)$$

其局部截断误差为:  $R_{n+3}(h) = -\frac{19}{720}h^5 u^{(5)}(t_n) + O(h^6)$ 。

### 三步四阶Hamming方法:

$$u_{n+3} = \frac{1}{8}(9u_{n+2} - u_n) + \frac{3h}{8}(f_{n+3} + 2f_{n+2} - f_{n+1})$$

其局部截断误差为:  $R_{n+3}(h) = -\frac{1}{40}h^5 u^{(5)}(t_n) + O(h^6)$ 。

### 四步四阶显式Adams方法:

$$u_{n+4} = u_{n+3} + \frac{h}{24}(55f_{n+3} - 59f_{n+2} + 37f_{n+1} - 9f_n)$$

其局部截断误差为:  $R_{n+4}(h) = \frac{251}{720}h^5 u^{(5)}(t_n) + O(h^6)$

### 四步四阶显式Milne方法: $u_{n+4} = u_n + \frac{4h}{3}(2f_{n+3} - f_{n+2} - 2f_{n+1})$

其局部截断误差为:  $R_{n+4}(h) = \frac{8}{15}h^5 u^{(5)}(t_n) + O(h^6)$



### 7.2.3 预估-校正算法

我们知道线性 $k$ 步隐式方法虽然具有稳定好、精度高的特点，但是每个隐式方法关于待定的 $u_{n+k}$ 一般是非线性的，虽然能利用一些迭代法（例如简单迭代法，或Newton迭代法）来求解，但若 $u_{n+k}$ 的初始近似值选得不好，则其计算量会比利用一次显式公式大得多。我们既要利用隐式方法的稳定性及精确性，又要利用显式公式的简易性，把两者结合起来，做到取长补短。办法之一就是先用同阶的显式公式确定较好的迭代初值，然后再按隐式方法迭代一两次达到精度要求。这就是所谓的**预估-校正算法**（格式）。



下面列举几个常见的预估-校正（**PECE**）算法。

**例2 Adams四阶预估-校正（PECE）算法。**

取四阶Adams外插法为预估算法,四阶Adams内插法为校正算法,即

$$\mathbf{P:} \quad u_{n+4}^{[0]} - u_{n+3}^{[1]} + \frac{h}{24} \left( 55f_{n+3}^{[1]} - 59f_{n+2}^{[1]} + 37f_{n+1}^{[1]} - 9f_n^{[1]} \right)$$

$$\mathbf{E:} \quad f_{n+4}^{[0]} = f \left( t_{n+4}, u_{n+4}^{[0]} \right)$$

$$\mathbf{C:} \quad u_{n+4}^{[1]} - u_{n+3}^{[1]} + \frac{h}{24} \left( 9f_{n+4}^{[0]} + 19f_{n+3}^{[1]} - 5f_{n+2}^{[1]} + f_n^{[1]} \right)$$

$$\mathbf{E:} \quad f_{n+4}^{[1]} = f \left( t_{n+4}, u_{n+4}^{[1]} \right)$$



DUT

大连理工大学

DALIAN UNIVERSITY OF TECHNOLOGY

### 例3 四阶Milne (PECE) 方法。

$$\mathbf{P:} \quad u_{n+4}^{[0]} - u_n^{[1]} + \frac{4h}{3} \left( 2f_{n+3}^{[1]} - f_{n+2}^{[1]} + 2f_{n+1}^{[1]} \right),$$

$$\mathbf{E:} \quad f_{n+4}^{[0]} = f \left( t_{n+4}, u_{n+4}^{[0]} \right),$$

$$\mathbf{C:} \quad u_{n+4}^{[1]} - u_{n+2}^{[1]} + \frac{h}{3} \left( f_{n+4}^{[0]} + 4f_{n+3}^{[1]} + f_{n+2}^{[1]} \right),$$

$$\mathbf{E:} \quad f_{n+4}^{[1]} = f \left( t_{n+4}, u_{n+4}^{[1]} \right),$$



## 例4 Hamming (PECE) 方法。

$$\mathbf{P:} \quad u_{n+4}^{[0]} - u_n^{[1]} + \frac{4h}{3} \left( 2f_{n+3}^{[1]} - f_{n+2}^{[1]} + 2f_{n+1}^{[1]} \right),$$

$$\mathbf{E:} \quad f_{n+4}^{[0]} = f \left( t_{n+4}, u_{n+4}^{[0]} \right),$$

$$\mathbf{C:} \quad u_{n+4}^{[1]} - \frac{9}{8}u_{n+3}^{[1]} + \frac{1}{8}u_{n+1}^{[1]} = \frac{3h}{8} \left( f_{n+4}^{[0]} + 2f_{n+3}^{[1]} - f_{n+2}^{[1]} \right),$$

$$\mathbf{E:} \quad f_{n+4}^{[1]} = f \left( t_{n+4}, u_{n+4}^{[1]} \right),$$



DUT

大连理工大学

DALIAN UNIVERSITY OF TECHNOLOGY

以上我们讨论了求解问题 (7-1), (7-2) 的单步法和多步法。对于上述两类方法求近似解 (数值解) 还应关注三个问题: 误差估计、收敛性和稳定性。

具体说,

一、数值方法的局部截断误差和阶

二、在离散点  $t_n$  处的数值解  $u_n$  是否收敛到精确解  $u(t_n)$

三、数值方法的稳定性



对于第一个问题前面我们已经讨论过, 而关于数值方法收敛性问题我们在这里不详细讨论, 只给出一些基本结论性的结果, 即:

对单步法 (7-8), 当方法的阶 $p \geq 1$ 时, 有整体误差

$$E_n = u(t_n) - u_n = O(h^p)$$

故有  $\lim_{h \rightarrow 0} E_n = 0$ , 因此方法是收敛的。





对于多步法, 若方法是 $k$ 步 $p$ 阶法, 那么 (7-24) 是一个 $k$ 阶差分方程, 引入多步法 (7-24) 的第一特征多项式和第二特征多项式:

$$\rho(\lambda) = \sum_{j=0}^k \alpha_j \lambda^j, \quad \sigma(\lambda) = \sum_{j=0}^k \beta_j \lambda^j$$

第一特征多项式

第二特征多项式

**定义7.1** 若 (7-24) 的第一特征多项式  $\rho(\lambda)$  的所有根在单位圆内或圆上 ( $|\lambda| \leq 1$ ), 且位于单位圆周上的根都是单根, 称多步法 (7-24) 满足根条件。



DUT

大连理工大学

DALIAN UNIVERSITY OF TECHNOLOGY

**定理7.2** 若线性多步法(7-24)的阶 $p \geq 1$ , 且满足根条件, 则方法是收敛的。

我们可以证明对于常用的数值方法都是满足收敛性条件的。

下面我们着重讨论第三个问题, 即数值方法的稳定性问题。用多步法计算时, 各种因素如初值

$$u_0, u_1, \cdots, u_{k-1}$$

是有误差的, 且这些误差将在计算中传递下去。如果误差积累无限增长, 则会歪曲真解, 这样的算法是不能用的。

例2 初值问题  $u' = 4tu^{\frac{1}{2}}$ ,  $0 \leq t \leq 2$ ;  $u(0) = 1$

精确解为  $u(t) = (1+t^2)^2$ 。考虑二步三阶显式法:

$$u_{n+2} + 4u_{n+1} - 5u_n = 2h(2f_{n+1} + f_n)$$

取步长  $h=0.1$ , 初值  $u_0=1$ , 附加值:  $u_1 = (1+h^2)^2 (h=0.1)$ 。

数值结果表

	精确解	数值解
<b>0</b>	<b>1.0000000</b>	<b>1.0000000</b>
<b>0.1</b>	<b>1.0201000</b>	<b>1.0201000</b>
<b>0.2</b>	<b>1.0816000</b>	<b>1.0812000</b>
<b>0.3</b>	<b>1.1881000</b>	<b>1.1892385</b>
<b>0.4</b>	<b>1.3456000</b>	<b>1.3388660</b>
<b>0.5</b>	<b>1.5625000</b>	<b>1.5929935</b>
<b>...</b>	<b>...</b>	<b>...</b>
<b>1.0</b>	<b>4.0000000</b>	<b>-68.639804</b>
<b>1.0</b>	<b>4.8841000</b>	<b>+367.26392</b>
<b>...</b>	<b>...</b>	<b>...</b>
<b>2.0</b>	<b>25.0000000</b>	<b>-6.96<math>\times 10^8</math></b>



在开始几步数值解与精确解符合，但在再往后算，数值解的误差则急剧增长，完全歪曲了真解。

通常人们都是通过模型方程来讨论方法的数值稳定性。

模型方程为：

$$u' = \mu u \quad (7-32)$$

而一般形式的一阶微分方程总能化成（7-32）的形式。

本书中数值方法的稳定性也是如此。前提是求解好条件问题，其中 $\text{Re}(\mu) < 0$ 。另外，我们也不考虑 $h \rightarrow 0$ 时方法的渐近稳定性。因为实际计算时， $h$ 是固定的。当某一步 $u_n$ 有舍入误差时，若以后的计算中不会逐步扩大，称这种稳定性为绝对稳定性。此后，若不做特殊说明，都是指绝对稳定性。



例如，对最简单的Euler法

$$u_{n+1} = u_n + hf_n, \quad n = 0, 1, 2 \cdots$$

用其求解模型方程 (7-32) 得到

$$u_{n+1} = u_n + h\mu u_n = (1 + \mu h)u_n, \quad n = 0, 1, 2 \cdots$$

当 $u_n$ 有舍入误差时，其近似解为  $\tilde{u}_n$ ，从而有

$$\tilde{u}_{n+1} = (1 + \mu h)\tilde{u}_n$$

取  $\varepsilon_n = u_n - \tilde{u}_n$ ，得到误差传播方程

$$\varepsilon_{n+1} = (1 + \mu h)\varepsilon_n,$$

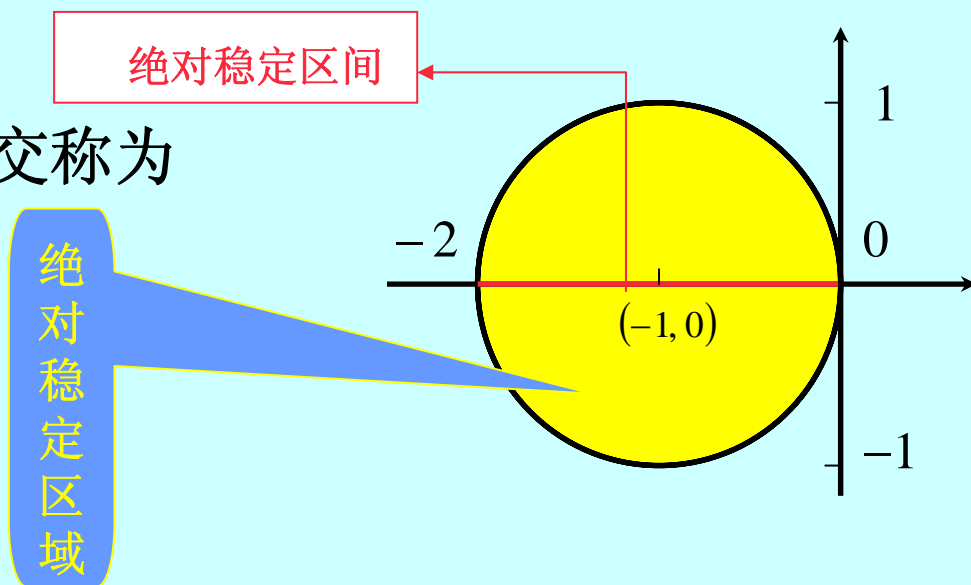
记  $\bar{h} = \mu h$  , 只要  $|1+\bar{h}| < 1$  , 则显式Euler方法的解和误差都不会恶性发展, 此时方法绝对稳定。 又由于实数  $\mu < 0$ , 从  $|1+\bar{h}| < 1$ , 可得  $-2 < \bar{h} < 0$ 。即  $0 < h < \frac{2}{-\mu}$  时, (7-33) 绝对稳定,

若  $\mu$  为复数, 在  $\bar{h} = \mu h$  的复平面上, 则  $|1+\bar{h}| < 1$  表示为以  $(-1, 0)$  为圆心, 1 为半径的单位圆。

**定义7.2** 一个数值方法用于求解模型问题 (7-32), 若在平面中的某一区域D中方法都是绝对稳定的, 而在区域D外, 方法是不稳定的, 则称D是方法的

**绝对稳定区域;** 它与实轴的交称为**绝对稳定区间**。

例如, 显式Euler方法的**绝对稳定区域、区间**。如图





下面考察**Runge-Kutta**法的绝对稳定性。

根据定义，在  $m=p$  阶**Runge-Kutta**法 (7-12) 取  $f = \mu u$ ，则

$$k_1 = \mu u_n$$

$$k_2 = \mu(1 + b_{21}\mu h)u_n = \mu P_1(\mu h)u_n$$

$$k_3 = \mu \left( u_n + h \sum_{j=1}^2 b_{3j} k_j \right) = \mu \left( 1 + b_{31}\mu h + b_{32}\mu h P_1(\mu h) \right) u_n = \mu P_2(\mu h)u_n$$

...

$$k_m = \mu P_{m-1}(\mu h)u_n$$

(其中  $P_i(\lambda)$  是  $i$  次多项式)，从而有：

$$u_{n+1} = u_n + \mu h \left( \sum_{i=1}^m c_i P_{i-1}(\mu h) \right) u_n = u_n + P_m(\mu h)u_n \quad n = 0, 1, \dots$$





注意,  $u' = \mu u$  的解  $u(t) = e^{\mu t}$  且  $u^{(j)}(t) = \mu^j u$   $j = 0, 1, \dots, p$   
 则精确解在  $t_n$  处的 Taylor 展开是为:

$$\begin{aligned} u(t_{n+1}) &= u(t_n) + hu'(t_n) + \frac{h^2}{2!}u''(t_n) + \dots + \frac{h^p}{p!}u^{(p)}(t_n) + O(h^{p+1}) \\ &= \left(1 + \mu h + \frac{(\mu h)^2}{2!} + \dots + \frac{(\mu h)^p}{p!}\right) u(t_n) + O(h^{p+1}) = \sum_{k=0}^p \frac{(\mu h)^k}{k!} u(t_n) + O(h^{p+1}) \end{aligned}$$

注意,  $u_{n+1} = (1 + P_m(\mu h)) u_n$

若为  $p$  阶方法, 则应有

$$R(h) = u(t_{n+1}) - u_{n+1} = O(h^{p+1})$$

$$= \left( \begin{array}{c} \phantom{u(t_n)} \\ \phantom{u(t_n)} \\ \phantom{u(t_n)} \end{array} - \begin{array}{c} \phantom{u(t_n)} \\ \phantom{u(t_n)} \\ \phantom{u(t_n)} \end{array} \right) u(t_n) + O(h^{p+1})$$





从而  $1 + P_m(\mu h) = \left( \sum_{k=0}^p \frac{(\mu h)^k}{k!} \right)$

记  $\bar{h} = \mu h$ ，则可将上式写成

$$u_{n+1} = \left( \sum_{k=0}^m \frac{\bar{h}^k}{k!} \right) u_n = \lambda(\bar{h}) u_n \quad n = 0, 1, \dots$$

进而误差传播方程为：  $\varepsilon_{n+1} = \lambda(\bar{h}) \varepsilon_n \quad m = 1, 2, 3, 4$

其中  $\lambda(\bar{h}) = 1 + \bar{h} + \frac{1}{2!} \bar{h}^2 + \dots + \frac{1}{m!} \bar{h}^m.$

注意，当  $m = 1, 2, 3, 4$  时，解不等式  $|\lambda(\bar{h})| < 1$  就可得显式

**Runge-Kutta**法公式**绝对稳定域**。当  $\mu < 0$  为实数，则得各阶

(  $m = 1, 2, 3, 4$  ) 的绝对稳定区间(见下表)。



## Runge-Kutta法 ( $m=1, 2, 3, 4$ ) 的绝对稳定区间表

级	$\lambda(\bar{h})$	绝对稳定区间
一级	$1 + \bar{h}$	$(-2, 0)$
二级	$1 + \bar{h} + \frac{1}{2!}\bar{h}^2$	$(-2, 0)$
三级	$1 + \bar{h} + \frac{1}{2!}\bar{h}^2 + \frac{1}{6}\bar{h}^3$	$(-2.51, 0)$
四级	$1 + \bar{h} + \frac{1}{2}\bar{h}^2 + \frac{1}{6}\bar{h}^3 + \frac{1}{24}\bar{h}^4$	$(-2.78, 0)$



现在考察多步法(7-24)，将它用于解模型方程(7-32)得到 $k$ 阶线性差分方程

$$\sum_{j=0}^k \alpha_j u_{n+j} = \mu h \sum_{j=0}^k \beta_j u_{n+j} \quad (7-33)$$

若取  $\bar{h} = \mu h$ ，则记 (7-34) 的特征方程为

$$\rho(\lambda) - \bar{h} \sigma(\lambda) = 0 \quad (7-34)$$

其中

$$\rho(\lambda) = \sum_{j=0}^k \alpha_j \lambda^j \quad \sigma(\lambda) = \sum_{j=0}^k \beta_j \lambda^j$$



由 $k$ 阶线性差分方程的性质我们可以得到如下结论，若特征方程 (7-34) 的根都在单位圆内 ( $|\lambda| < 1$ ), 则线性多步法 (7-24) 关于  $\bar{h} = \mu h$  绝对稳定, 其绝对稳定域是复平面  $\bar{h}$  上的区域:

$$\mathbf{D} = \left\{ \bar{h} \mid |\lambda_j(\bar{h})| < 1, \quad j = 1, 2, \dots, k \right\}$$

例如, 对于 $k=1$ 时, 考虑隐式方法中最简单的后退Euler法

$$u_{n+1} = u_n + h f(t_{n+1}, u_{n+1}) \quad n=0, 1, \dots$$

其特征方程为:  $\rho(\lambda) - \bar{h}\sigma(\lambda) = (1 - \bar{h})\lambda - 1 = 0$

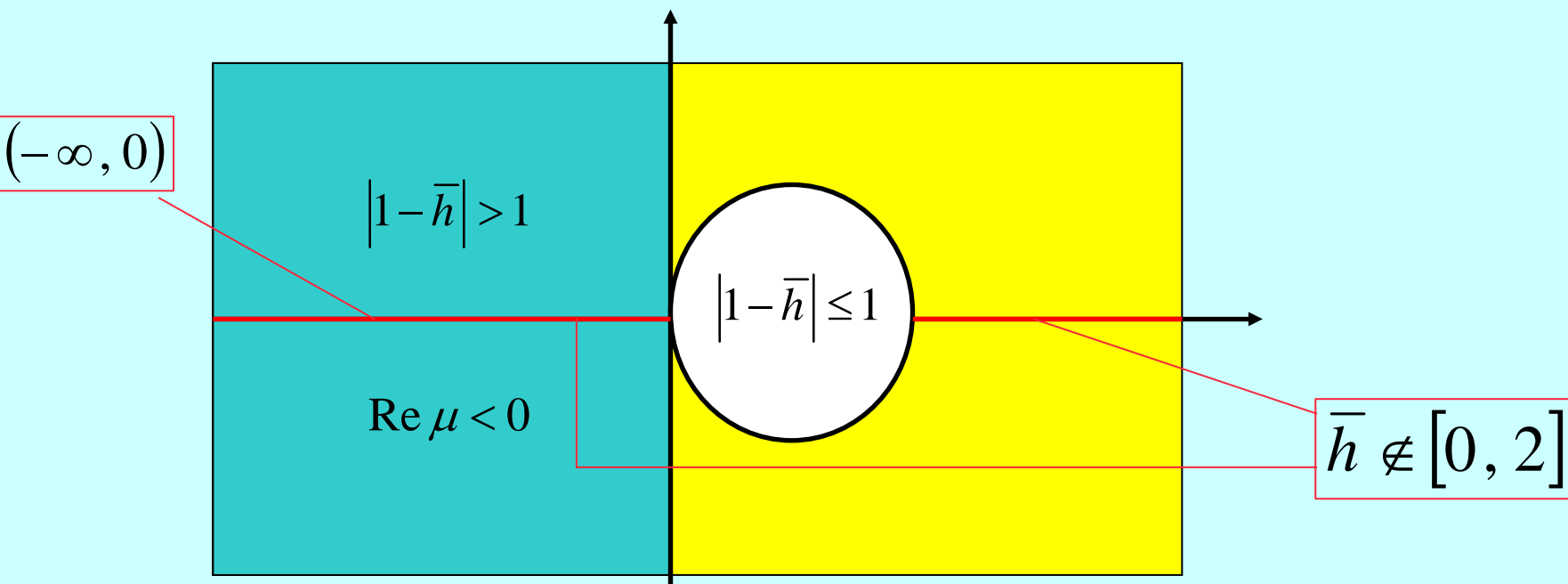


得  $\lambda_1 = \frac{1}{1-\bar{h}}$ , 当  $|1-\bar{h}| > 1$  时,  $|\lambda_1| < 1$ , 故  $|1-\bar{h}| > 1$  就是隐式Euler法的绝对稳定区域。

它是  $\bar{h}$  平面上以 (1.0) 为圆心的单位圆外区域。

当  $\text{Re } \mu < 0$  时, 它位于  $\bar{h}$  平面上y轴左侧区域。

当  $\mu < 0$  为实数时, 绝对稳定区间为  $(-\infty, 0)$ 。





又如, 梯形法  $u_{n+1} = u_n + \frac{1}{2}h(f_{n+1} + f_n) \quad n=0, 1, \dots$

其特征方程为:  $\rho(\lambda) - \bar{h}\sigma(\lambda) = \left(1 - \frac{\bar{h}}{2}\right)\lambda - \left(1 + \frac{\bar{h}}{2}\right) = 0$

其根  $\lambda_1(\bar{h}) = \frac{1 + \frac{\bar{h}}{2}}{1 - \frac{\bar{h}}{2}}$ , 当  $\text{Re } \mu < 0$  时,  $\left| \frac{1 + \frac{\bar{h}}{2}}{1 - \frac{\bar{h}}{2}} \right| < 1$ , 故梯形公式

的绝对稳定域是  $\bar{h}$  平面的左半平面。绝对稳定区间为  $(-\infty, 0)$ 。  
这样检验绝对稳定性归结为检验特征方程(7-34)的根是否在单位圆内 ( $|\lambda| < 1$ )。对此有很多判别法, 如Schur准则、轨迹法。



$k=1\sim 4$ 的隐式Adams类方法的绝对稳定区间（ $\mu < 0$ 为实数）。

步	阶	绝对稳定区间
1	2	$(-\infty, 0)$
2	3	$(-6.0, 0)$
3	4	$(-3.0, 0)$
4	5	$(-1.8, 0)$

这里我们给出一种简单的、常用的判别法：

实系数二次方程  $\lambda^2 - b\lambda - c = 0$  的根在单位园内的充分必要条件为：

$$|b| < 1 - c < 2 \quad (7-35)$$





DUT

大连理工大学

DALIAN UNIVERSITY OF TECHNOLOGY

**例** 证明求解一阶常微分方程初值问题： $u' = f(t, u)$ ,  $u(0) = u_0$

的差分格式

$$u_{n+2} - u_{n+1} = \frac{h}{12}(5f_{n+2} + 8f_{n+1} - f_n)$$

收敛并求其局部截断误差主项、绝对稳定区间。

解：由差分格式可知，

$$\rho(\lambda) = \lambda^2 - \lambda, \quad \sigma(\lambda) = \frac{5}{12}\lambda^2 + \frac{8}{12}\lambda - \frac{1}{12},$$

$$\text{令} \quad \rho(\lambda) = \lambda(\lambda - 1) = 0,$$

得  $\lambda_1 = 0$ ,  $\lambda_2 = 1$ 。则其特征值满足根条件： $|\lambda| < 1$ 。



注意,  $\alpha_0=0, \alpha_1=-1, \alpha_2=1, \beta_0=-\frac{1}{12}, \beta_1=\frac{8}{12}, \beta_2=\frac{5}{12},$

从而

$$\left\{ \begin{array}{l} C_0 = 1 - 1 = 0 \\ C_1 = 2 - 1 - \left( -\frac{1}{12} + \frac{8}{12} + \frac{5}{12} \right) = 0 \\ C_2 = \frac{1}{2}(-1 + 4) - \frac{3}{2} = 0 \\ C_3 = \frac{1}{6}(-1 + 2^3) - \frac{1}{2} \left( \frac{8}{12} + 2^2 \times \frac{5}{12} \right) = \frac{7}{6} - \frac{7}{6} = 0 \\ C_4 = \frac{1}{4!}(-1 + 2^4) - \frac{1}{3!} \left( \frac{8}{12} + 2^3 \times \frac{5}{12} \right) = \frac{15}{24} - \frac{16}{24} = -\frac{1}{24} \neq 0 \end{array} \right.$$

故此为隐式二步三阶法, 其局部截断误差主项为:  $-\frac{1}{24}h^4u^{(4)}(t_n)$ 。

由定理7.1 可知, 此方法收敛。

又其特征方程为

$$\rho(\lambda) - \bar{h}\sigma(\lambda) = \left(1 - \frac{5}{12}\bar{h}\right)\lambda^2 - \left(1 + \frac{8}{12}\bar{h}\right)\lambda + \frac{1}{12}\bar{h} = 0$$

进一步

$$\lambda^2 - \left(\frac{12+8\bar{h}}{12-5\bar{h}}\right)\lambda - \frac{(-\bar{h})}{12-5\bar{h}} = 0$$

而使得  $|\lambda| < 1$ ，的充要条件为：

$$\left|\frac{12+8\bar{h}}{12-5\bar{h}}\right| < \frac{12-4\bar{h}}{12-5\bar{h}} = 1 + \frac{\bar{h}}{12-5\bar{h}} < 2$$

而  $1 + \frac{\bar{h}}{12-5\bar{h}} < 2$  自然成立。现在再由  $\left|\frac{12+8\bar{h}}{12-5\bar{h}}\right| < \frac{12-4\bar{h}}{12-5\bar{h}}$  得

$-12+4\bar{h} < 12+8\bar{h} < 12-4\bar{h}$  而  $12+8\bar{h} < 12-4\bar{h}$  自然成立。

即有  $-3+\bar{h} < 3+2\bar{h}$ ，可得其绝对稳定区间： $-6 < \bar{h} < 0$ 。



考虑如下线性 $k$ 步隐式法

$$u_{n+k} - u_n = \frac{hk}{2} (f_{n+k} + f_n)$$

当 $k=1$ 步时, 
$$u_{n+1} - u_n = \frac{h}{2} (f_{n+1} + f_n)$$

梯形法, 一阶方法, 绝对稳定区间为 $(-\infty, 0)$ 。

当 $k=2$ 步时, 
$$u_{n+2} - u_n = h (f_{n+2} + f_n)$$

令 
$$\rho(\lambda) = \lambda^2 - 1 = 0,$$

得  $\lambda_1 = -1, \lambda_2 = 1$ 。则其特征值满足根条件。

$$u_{n+2}-u_n=h\left(f_{n+2}+f_n\right)$$

注意,  $\alpha_0=-1, \alpha_1=0, \alpha_2=1, \beta_0=1, \beta_1=0, \beta_2=1$ , 从而

$$\begin{cases} C_0 = 1 - 1 = 0 \\ C_1 = 2 - (1 + 1) = 0 \\ C_2 = \frac{1}{2} \times 2^2 - 2 = 0 \\ C_3 = \frac{1}{6} \times 2^3 - \frac{1}{2} \times 2^2 = -\frac{2}{3} \neq 0 \end{cases}$$

绝对稳定区间:  $(-\infty, 0)$ 。

故此为隐式二步二阶法, 其局部截断误差主项为:  $-\frac{2}{3}h^3u^{(3)}(t_n)$ 。

由定理7.1 可知, 此方法收敛。又其特征方程为

$$\rho(\lambda) - \bar{h}\sigma(\lambda) = (1 - \bar{h})\lambda^2 - (1 + \bar{h}) = 0$$

$$\lambda^2 = \frac{1 + \bar{h}}{1 - \bar{h}} \quad \text{而使得} \quad |\lambda| < 1, \text{的充要条件为:} \quad \left| \frac{1 + \bar{h}}{1 - \bar{h}} \right| < 1$$



**DUT**

大连理工大学

DALIAN UNIVERSITY OF TECHNOLOGY

THE END